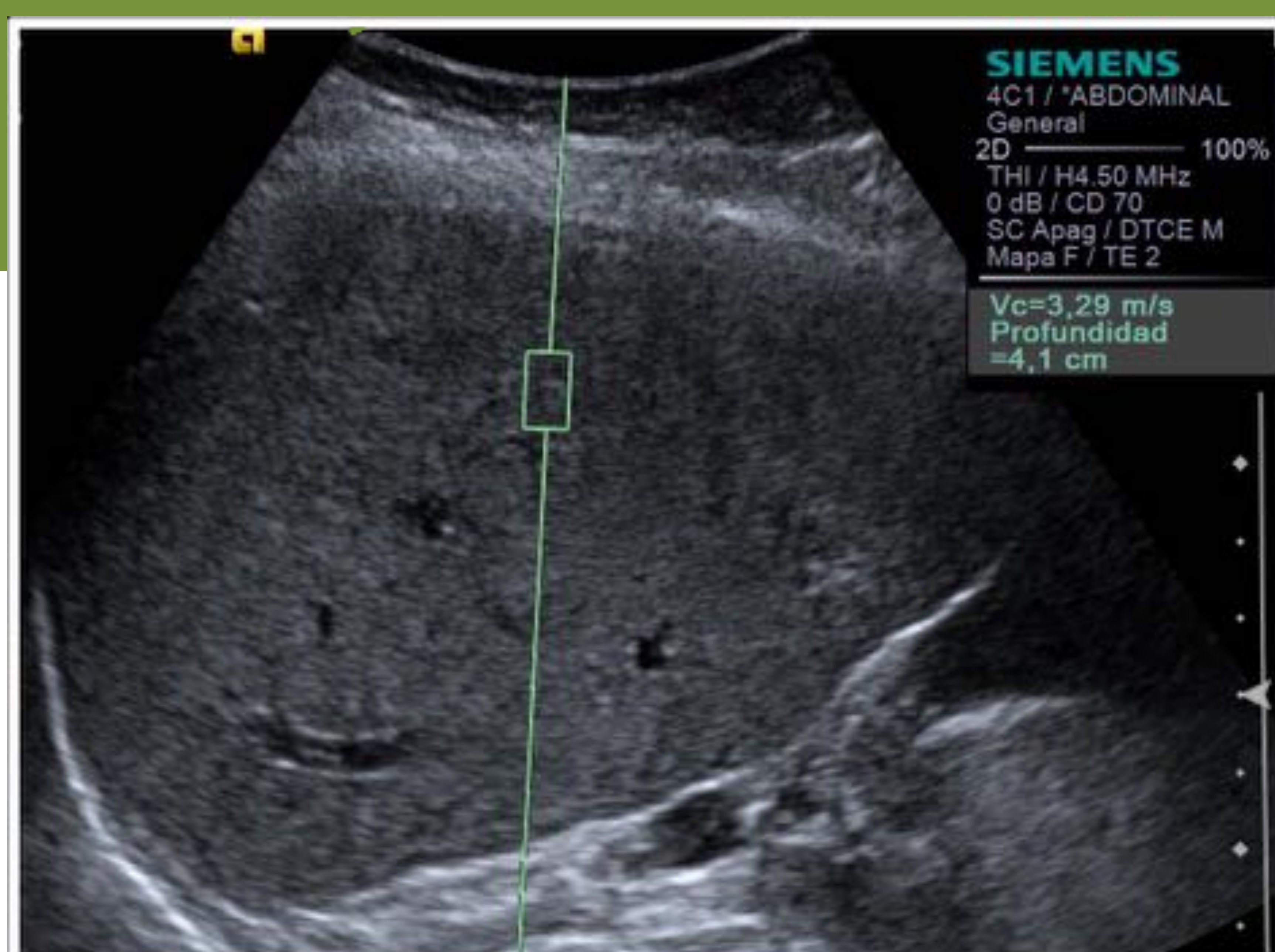


## **UTILIDAD DE LA ELASTOGRAFÍA ARFI PARA VALORAR LA EVOLUCIÓN DE LA ENFERMEDAD GRASA DEL HÍGADO NO ALCOHÓLICA (EGHNA) EN PACIENTES OBESOS INTERVENIDOS DE CIRUGÍA BARIÁTRICA**



**Elena López Banet, Florentina Guzmán Aroca, Andrés Francisco Jiménez Sánchez, Juan Francisco Martínez Martínez,  
Santiago Ibáñez Caturla, Antonio Navarro Baño**

**HOSPITAL CLÍNICO UNIVERSITARIO VIRGEN DE LA ARRIBA (MURCIA)**

## **1. OBJETIVOS**

**ESTUDIAR LA EVOLUCIÓN DE LA ENERMEDAD GRASA DEL HÍGADO NO ALCOHÓLICA (EGNHA) EN PACIENTES OBESOS INTERVENIDOS DE CIRUGÍA BARIÁTRICA**

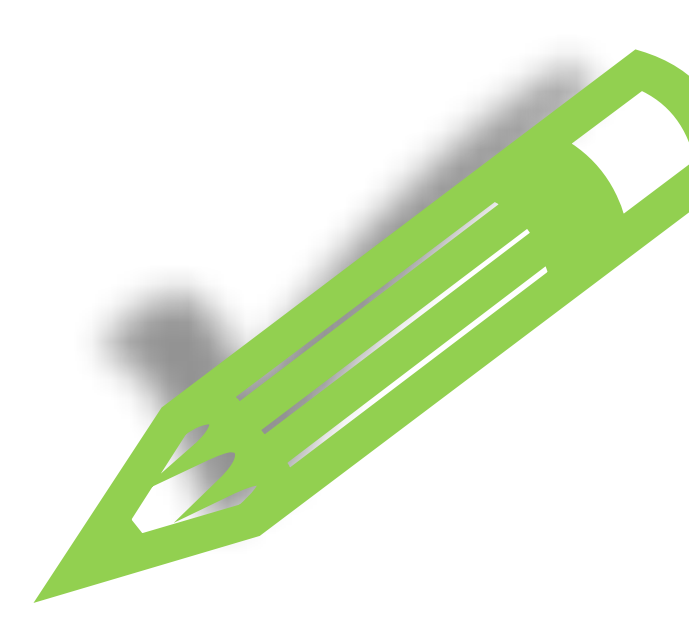
- Comparar los valores de velocidad de corte hepática medidos con elastografía antes y después de la cirugía
- Comparar los grados de esteatosis hepática cuantificados con ecografía en modo-B antes y después del tratamiento
- Comparar los valores del perfil hepático analítico (colesterol total, triglicéridos, LDL, plaquetas, GOT, GPT) antes y después de la intervención
- Evaluar la utilidad de la técnica ARFI para detectar la regresión de la EGHNA asociada a la obesidad mórbida tras la cirugía bariátrica

## 1.1 INTRODUCCIÓN

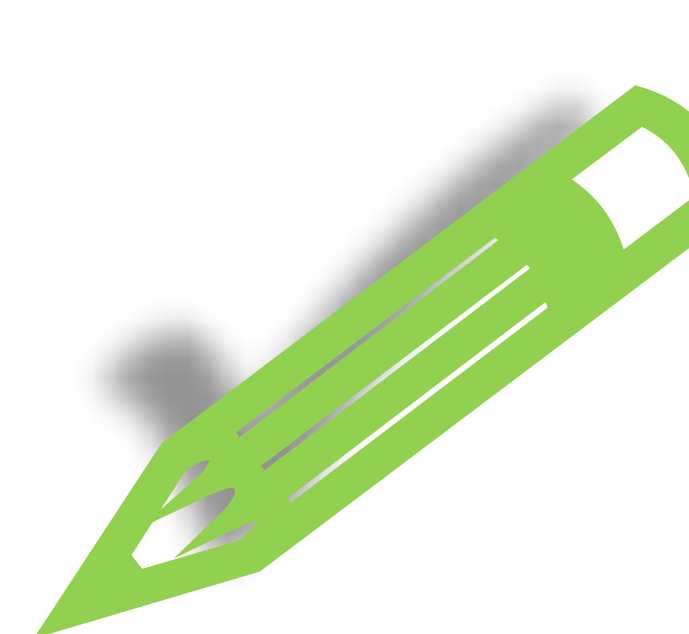
**OBESIDAD**



**Problema de salud global**



**IMC > 40 Kg/m<sup>2</sup>**



**Prevalencia en aumento**

**Conlleva un proceso de daño hepático progresivo, potencialmente reversible**

**DM-2**

**Hiperlipidemia**

**Hipertensión**

**Esteatosis**

**SAOS**

**Enf. Cardiaca**

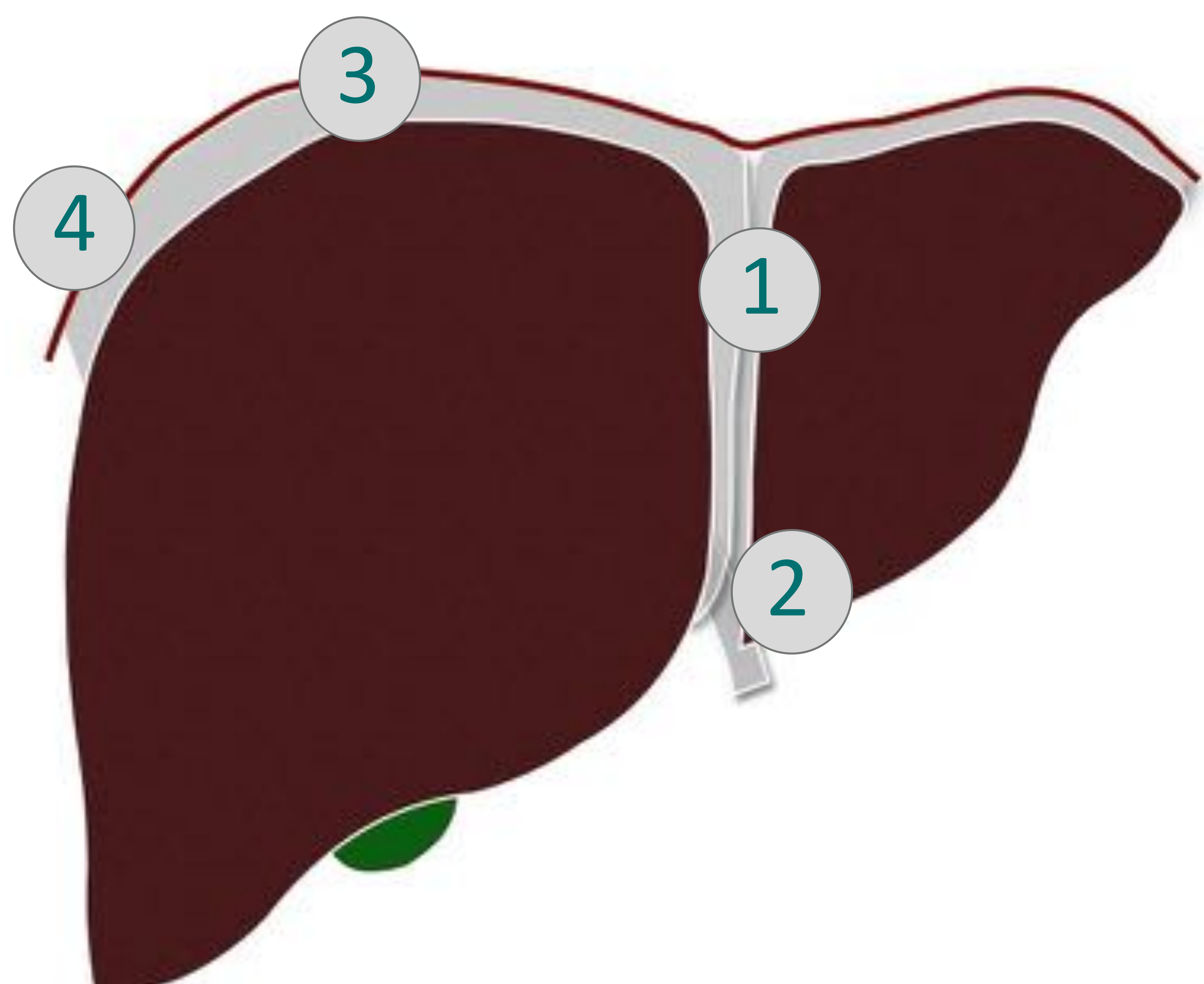
**ACV**

**Esteatosis hep.**



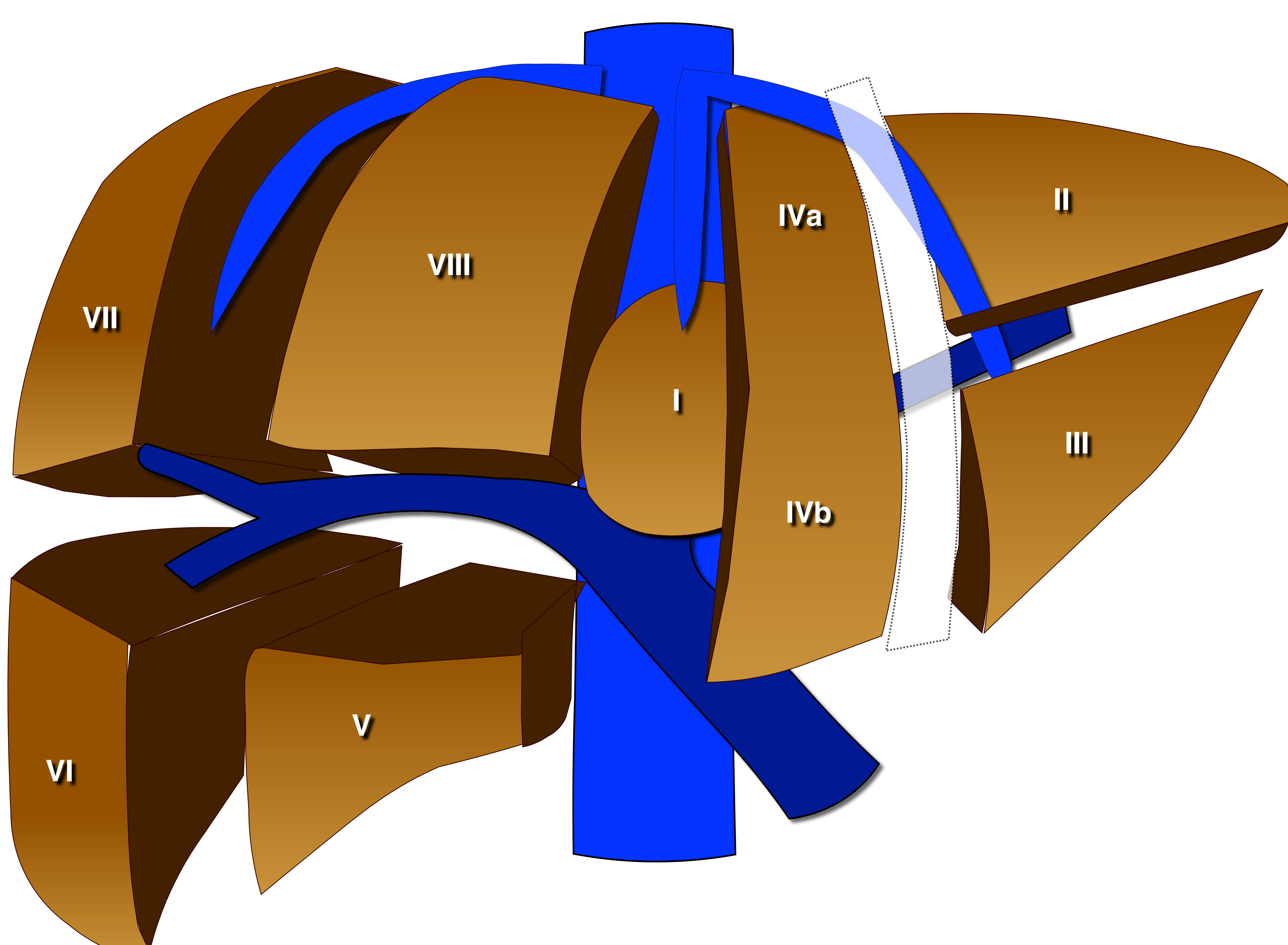
## 1.1 INTRODUCCIÓN

### ANATOMÍA HEPÁTICA



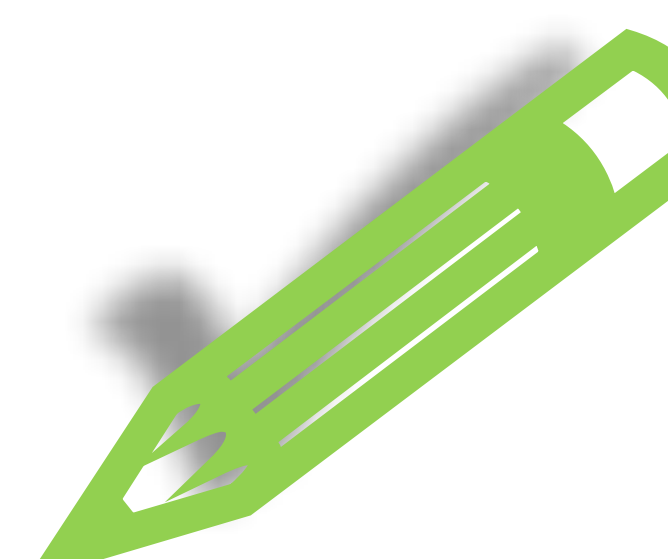
- 1. Ligamento falciforme**
- 2. Ligamento redondo**
- 3. Ligamento coronario**
- 4. Ligamentos triangulares**

### Clasificación de Couinaud



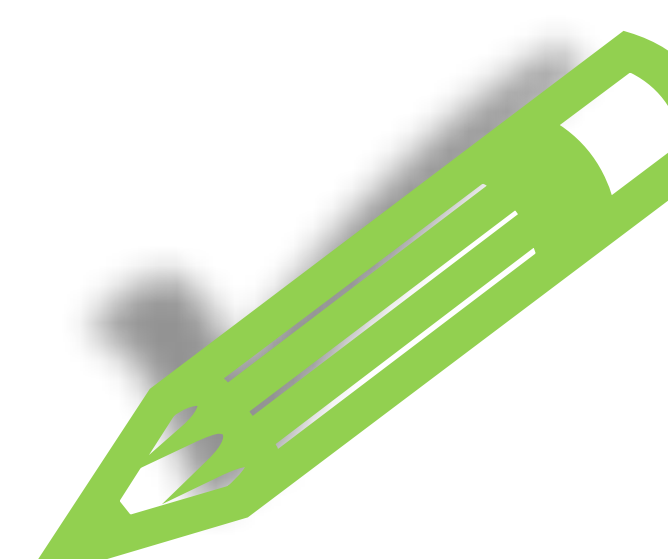
## 1.1 INTRODUCCIÓN

### ENFERMEDAD GRASA DEL HIGADO NO ALCOHÓLICA (EGHNA)

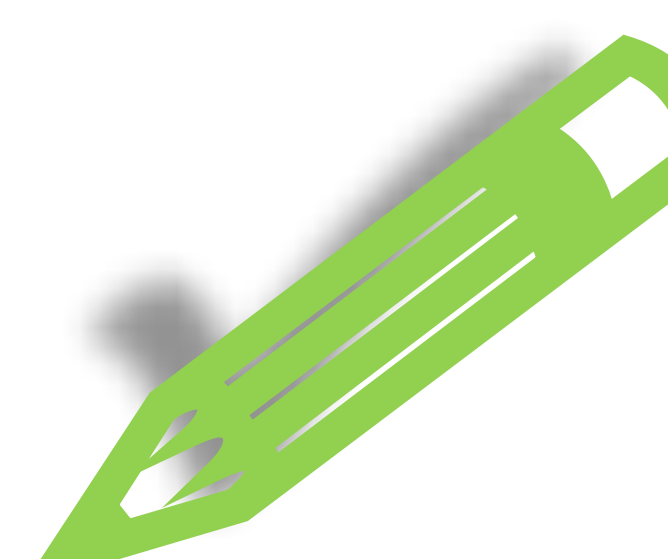


Problema de salud pública

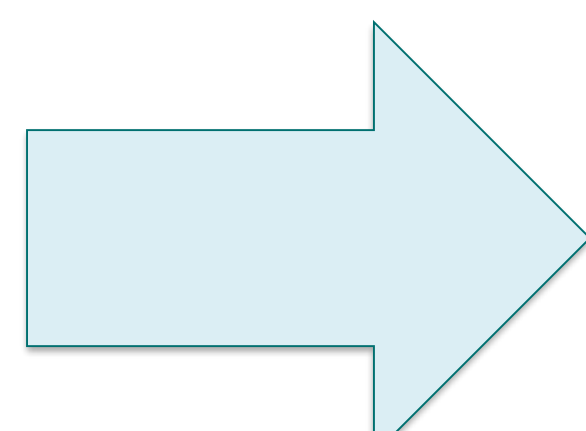
10-30%



Causa más común de enfermedad hepática crónica

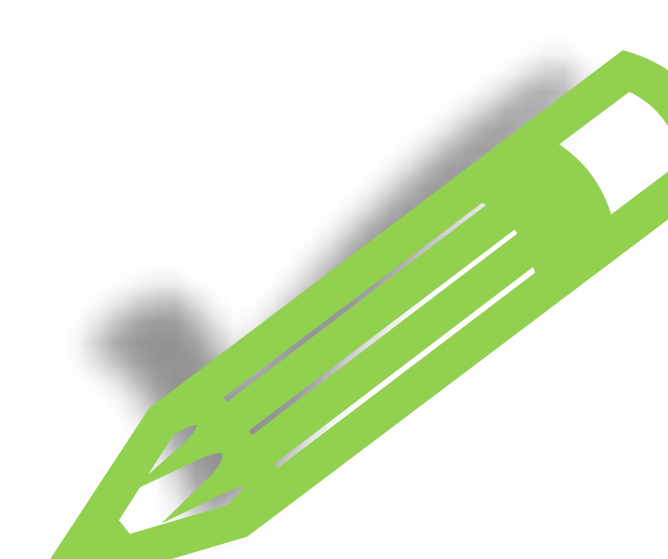


Principal factor

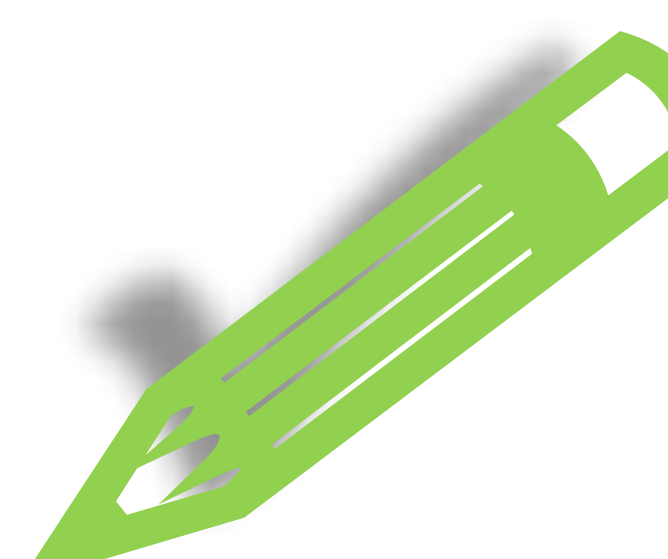


OBESIDAD

75-92%



Manifestación hepática del síndrome metabólico



Pacientes asintomáticos

#### Evidencia de esteatosis hepática

**SIN consumo significativo de alcohol**

**SIN causa de hepatopatía crónica**

**SIN otra causa de esteatosis hepática**

## 1.1 INTRODUCCIÓN

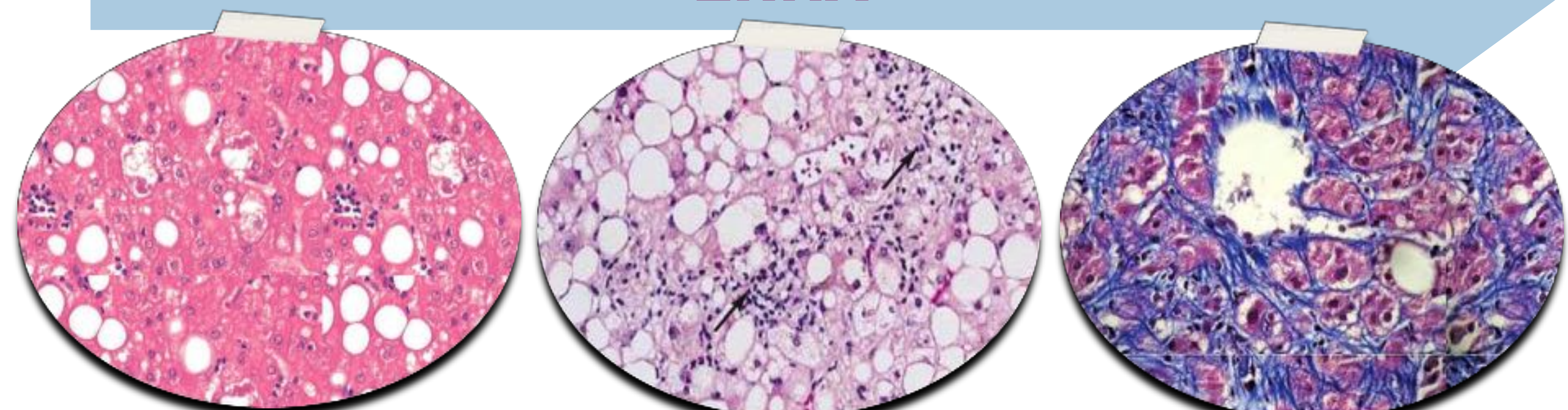
### PATOGENIA DEL HÍGADO GRASO NO ALCOHÓLICO

Esteatohepatitis no alcohólica

**Esteatosis**

**EHNA**

**Fibrosis**



**EGHNA 10-30%**

**EHNA 2-4%**

**15-25%**

**CIRROSIS**

Fallo hepático subagudo

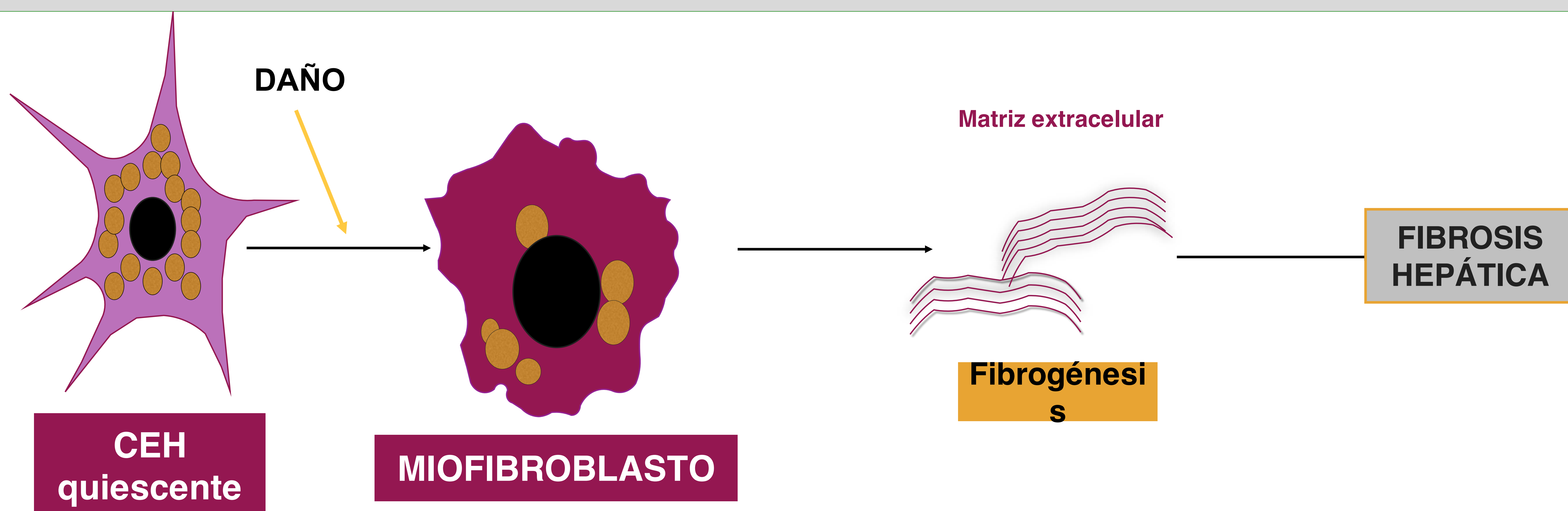
HCC

**30-40% MORTALIDAD**

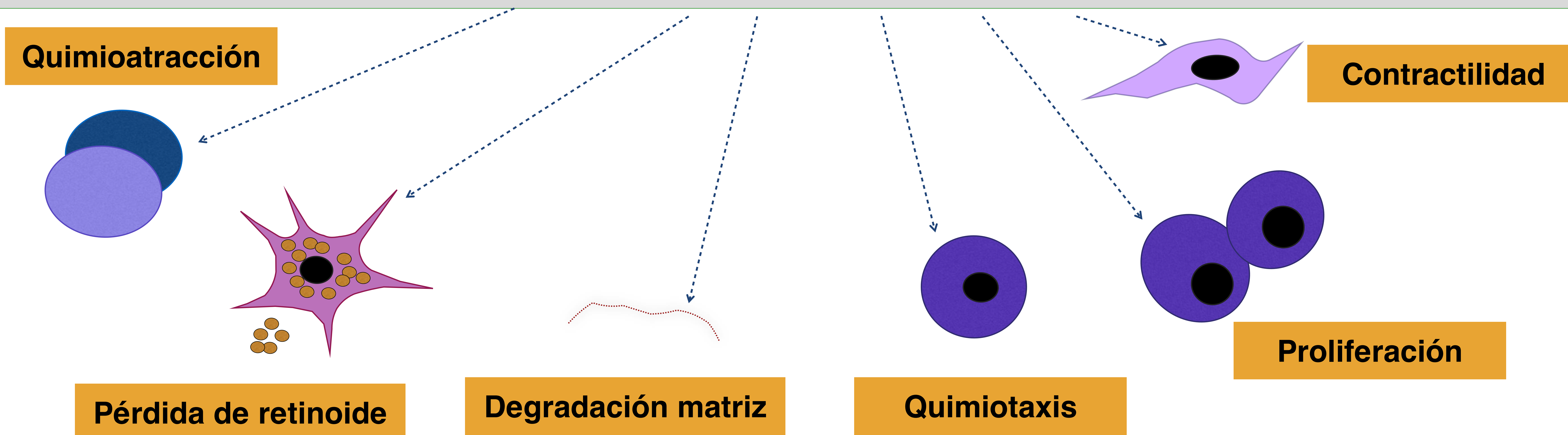
## 1.1 INTRODUCCIÓN

### FISIOPATOGENIA DE LA FIBROSIS HEPÁTICA

#### INICIO



#### PROGRESIÓN



#### REGRESIÓN



## 1.2. EVALUACIÓN DE LA FIBROSIS HEPÁTICA

### 1.2.1 MÉTODOS INVASIVOS: BIOPSIA HEPÁTICA

#### Clasificación MATTEONI

- 1: Esteatosis sin inflamación ni fibrosis
- 2: Esteatosis con inflamación, sin fibrosis
- 3: Esteatosis con hepatocitos balonizados
- 4: Esteatosis con hialina de Mallory y/o fibrosis

#### METAVIR

- F0: Ausencia de fibrosis
- F1: Fibrosis sin septos
- F2: Fibrosis con mínimos septos
- F3: Fibrosis con muchos septos
- F4: Cirrosis

COMPLICACIONES



MUESTRA INSUFICIENTE

VARIABILIDAD INTRA E  
INTEROBSERVADOR

LIMITACIONES DE  
SEGUIMIENTO

### 1.2.2. MÉTODOS NO INVASIVOS

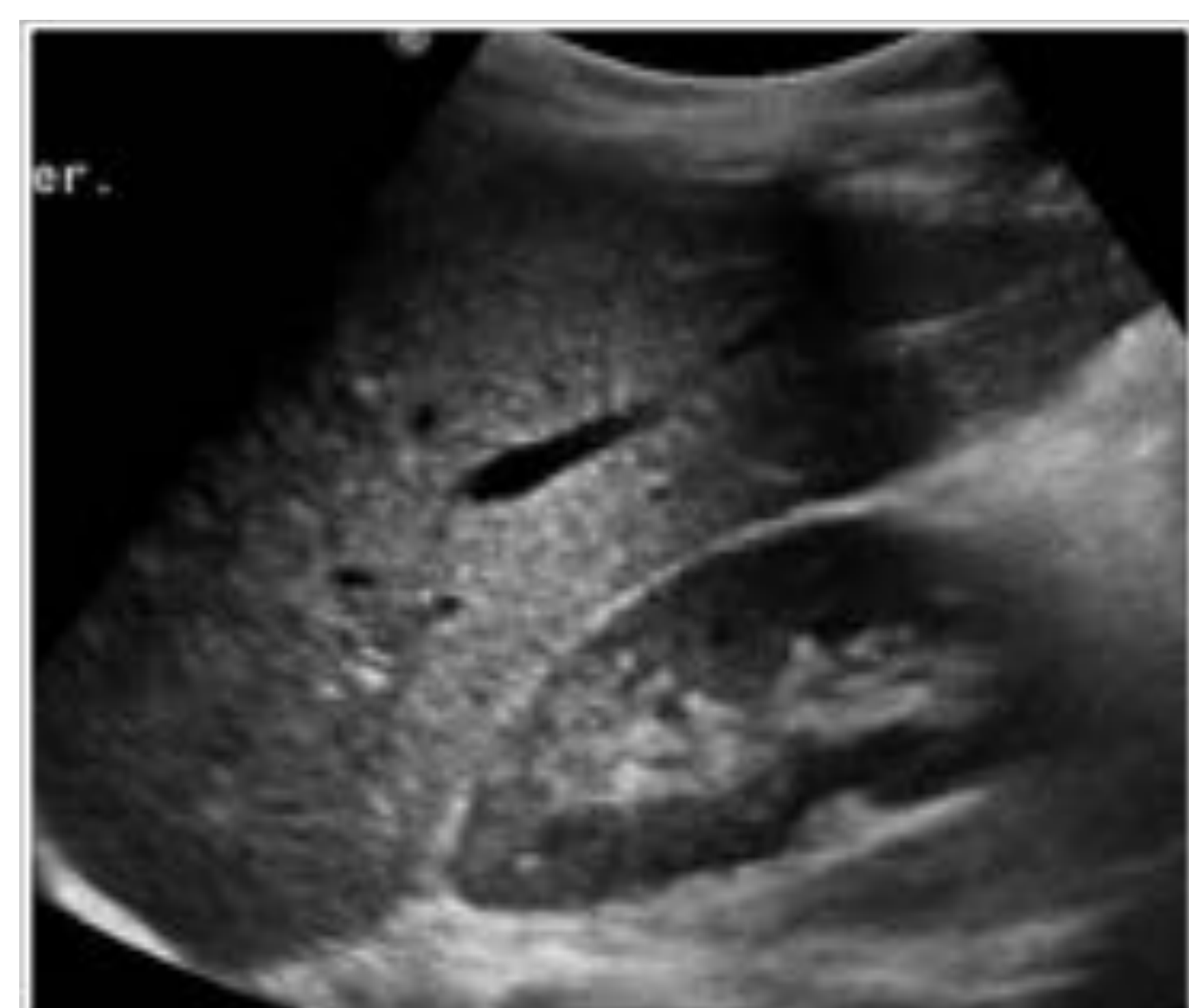
GOT, GPT

Bil, Alb, FA, Plaq

APRI, FIB-4



Marcadores  
séricos



Ecografía

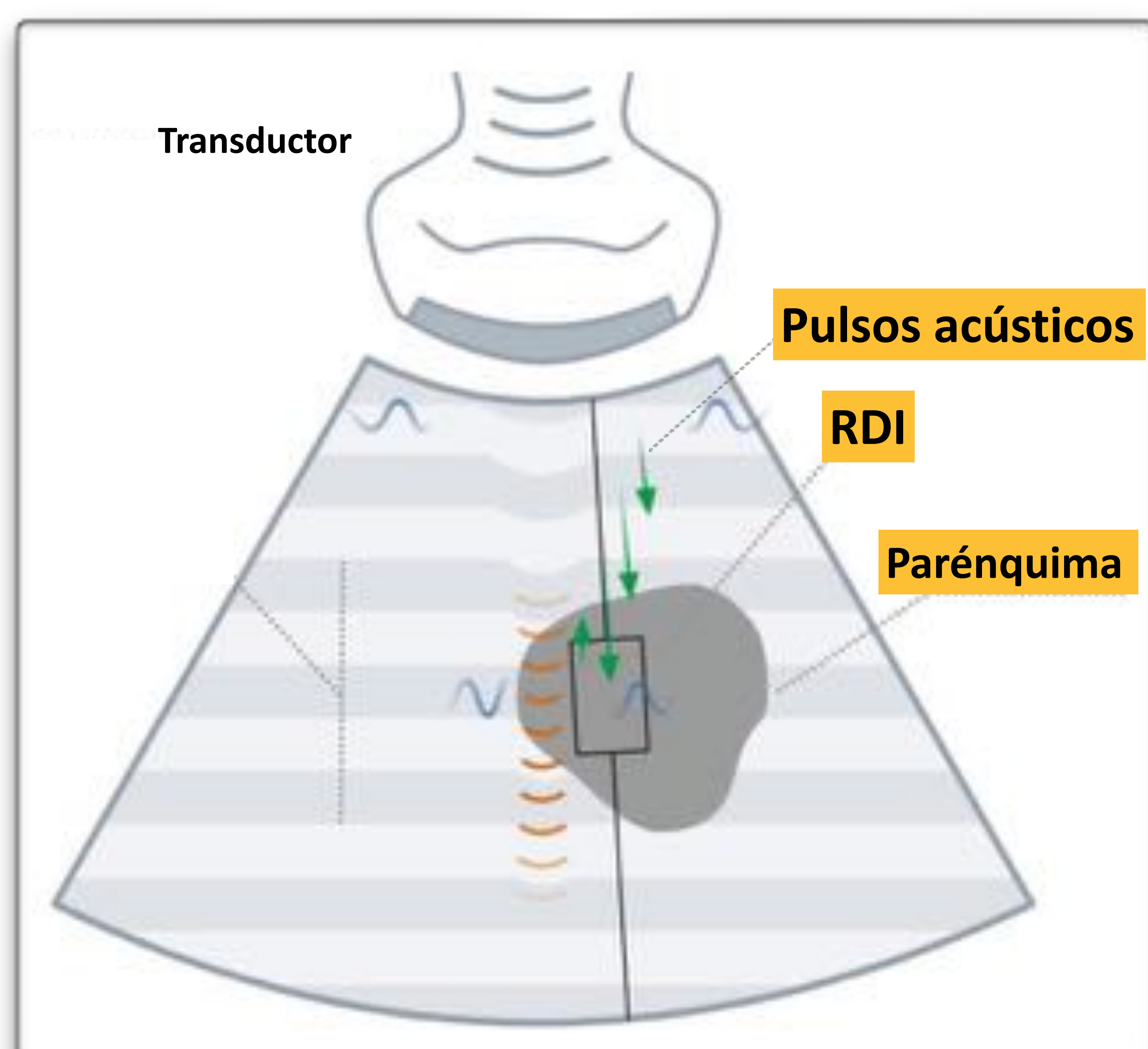
ARFI  
(Acoustic Radiation Force Impulse)



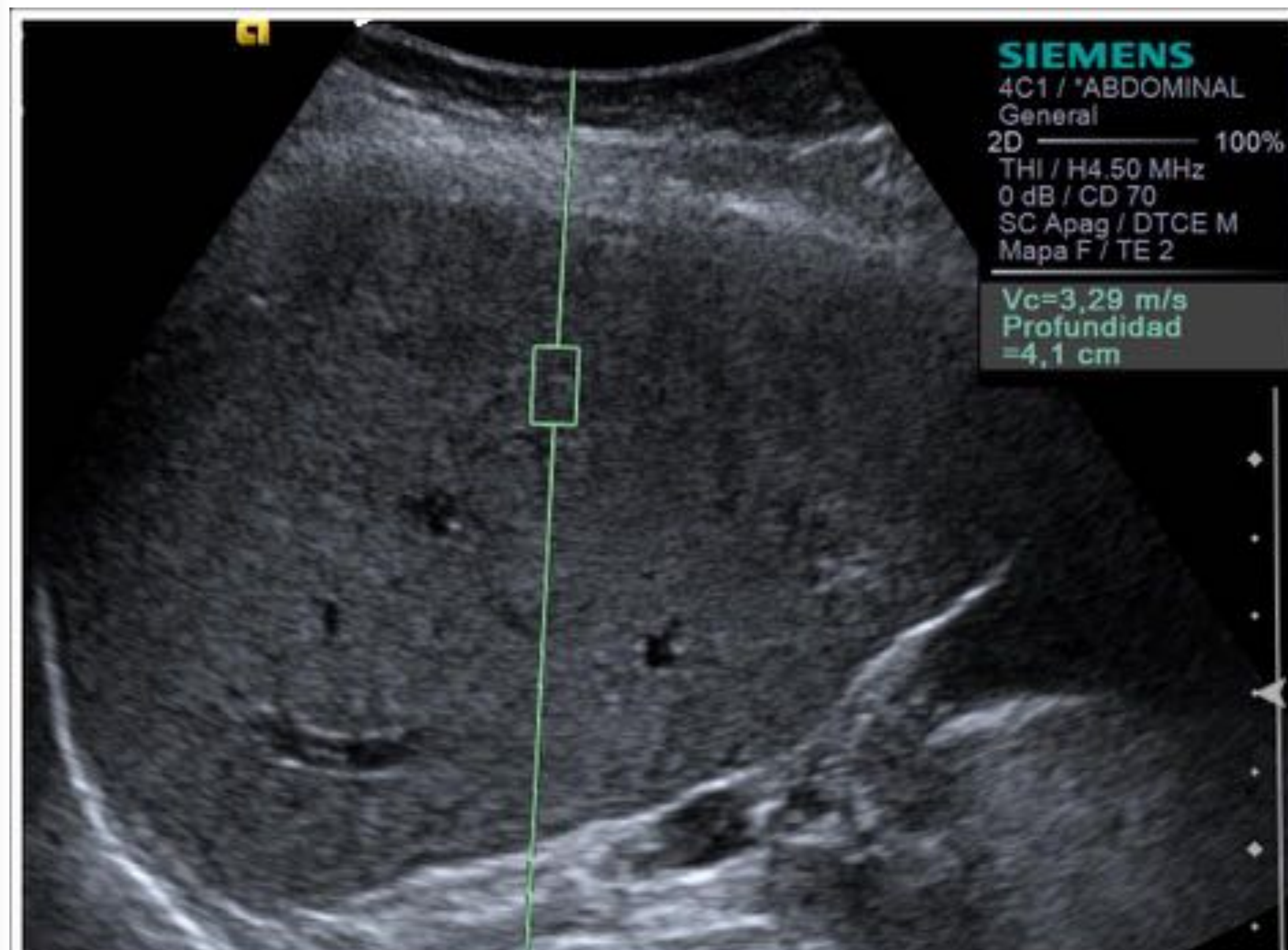
Elastografía

## 1.2.2. MÉTODOS NO INVASIVOS

### ELASTOGRAFÍA HEPÁTICA: ARFI



Sporea I, Sirli R. Hepatic Elastography Using Ultrasound Waves. Bentham Science Publishers. 2012.



Hospital Clínico Universitario Virgen de la Arrixaca (Murcia)

!!Velocidad!! = !!Rigidez!

$F<2: < 1,35 \text{ m/s}$

$F \geq 2: \geq 1,35 \text{ m/s}$

$F \geq 3: \geq 1,61 \text{ m/s}$

$F \geq 4: \geq 1,87 \text{ m/s}$

**Fibrosis  
significativa**



**INOCUA**

**BARATA**

**ALTA DISPONIBILIDAD**

**SELECCIÓN DE LA RDI**

**ASCITIS**

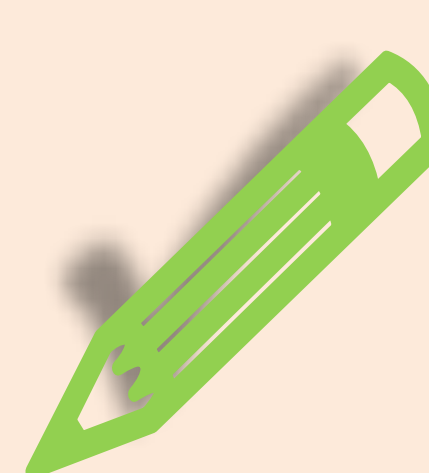
**OBESOS**

## 2. MATERIAL Y MÉTODO

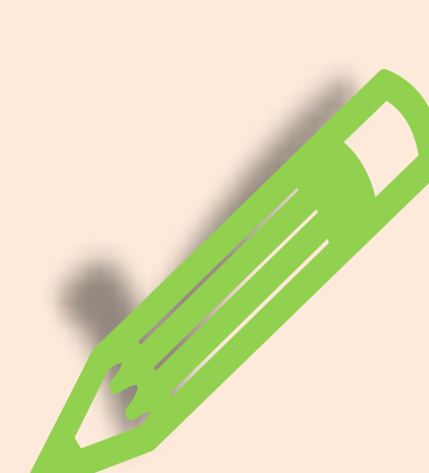
Seguimiento Desde Febrero de 2014 a Febrero de 2017

40 pacientes con obesidad mórbida; 24 mujeres (60%)  
y 16 hombres (40%)

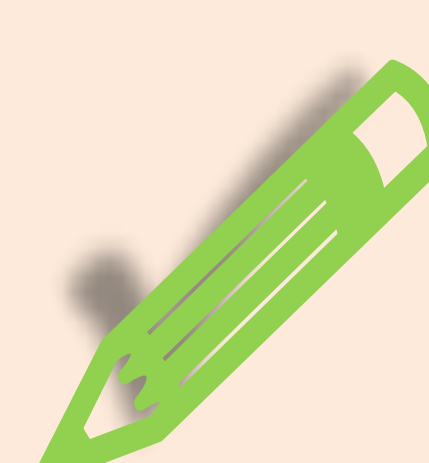
### Criterios de inclusión



**Cumplir los criterios de la SEEDO** (Sociedad  
Española del Estudio de la obesidad)

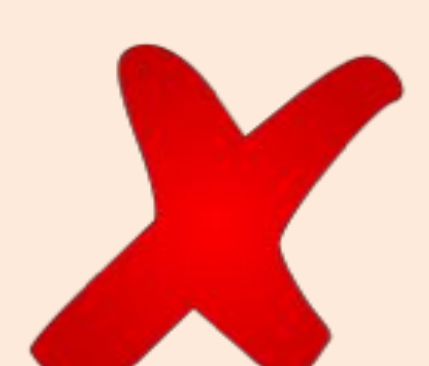


**Estudio preoperatorio: clínico, ecografía  
elastografía, analítica**



**Biopsia intraoperatoria**

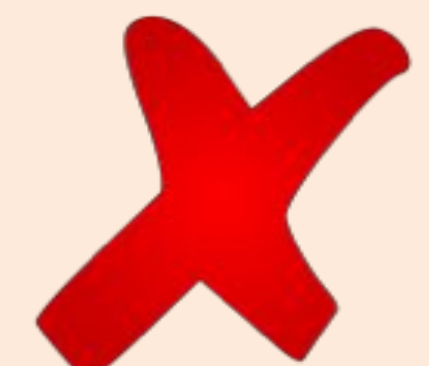
### Criterios de exclusión



**Medicación hepatotóxica**

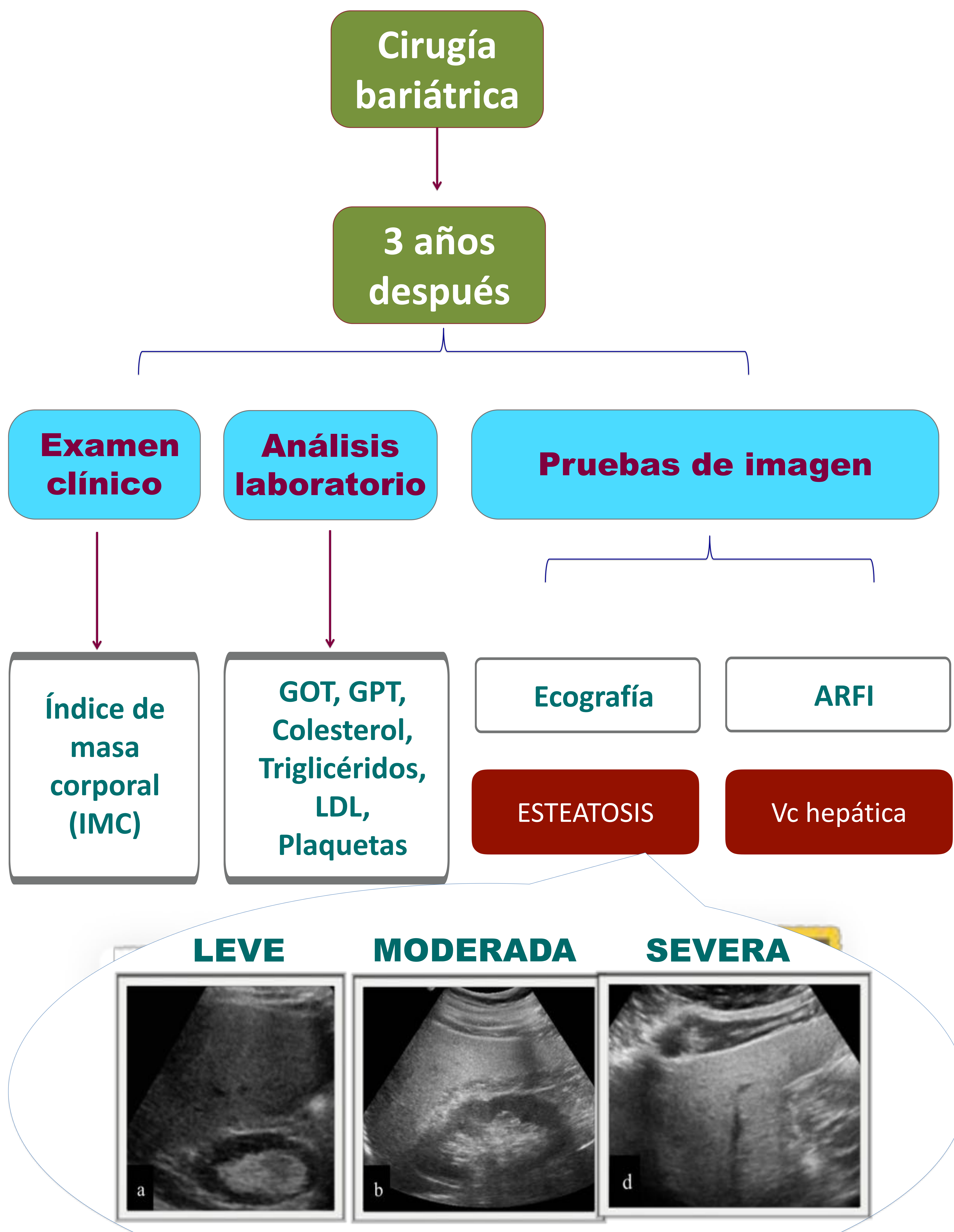


**Coinfecciones, enf. depósito**



**Consumo significativo de alcohol**

## 2. MATERIAL Y MÉTODO



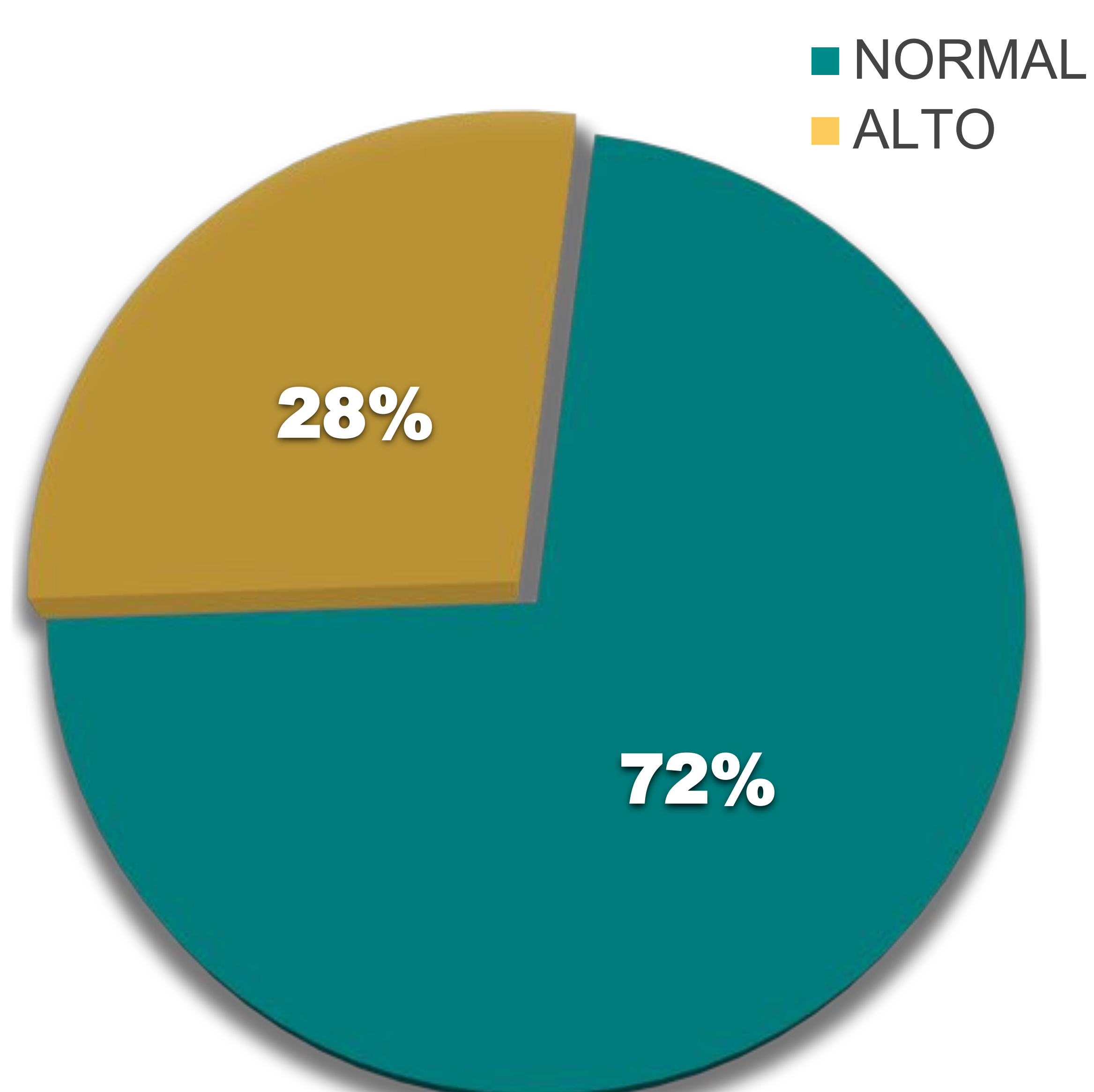
## 3. RESULTADOS

### 3.1. ANÁLISIS DESCRIPTIVO

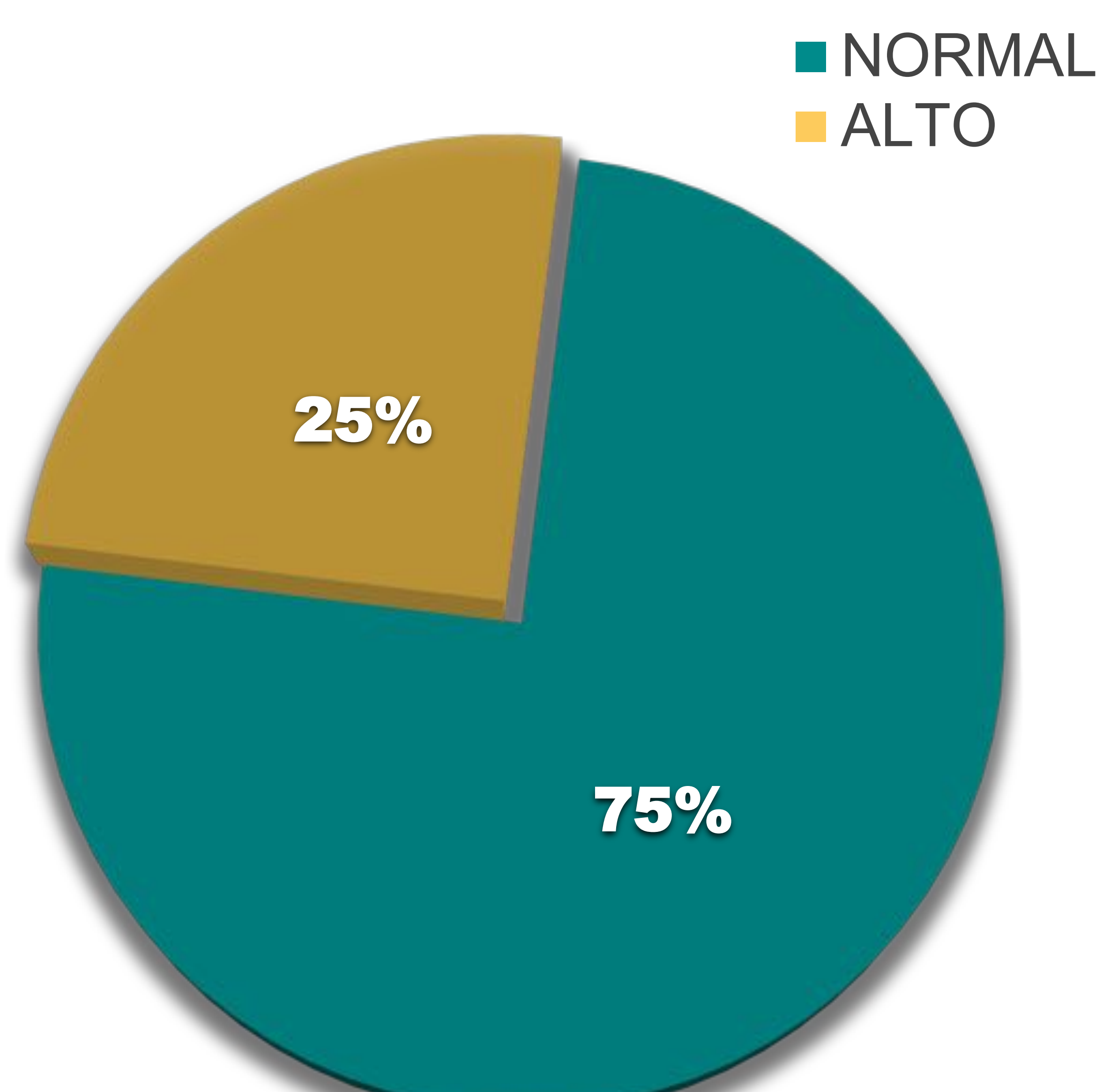
#### Datos clínicos &

- ❖ Edad:  $44 \pm 10$  (22-65)
- ❖ Laboratorio

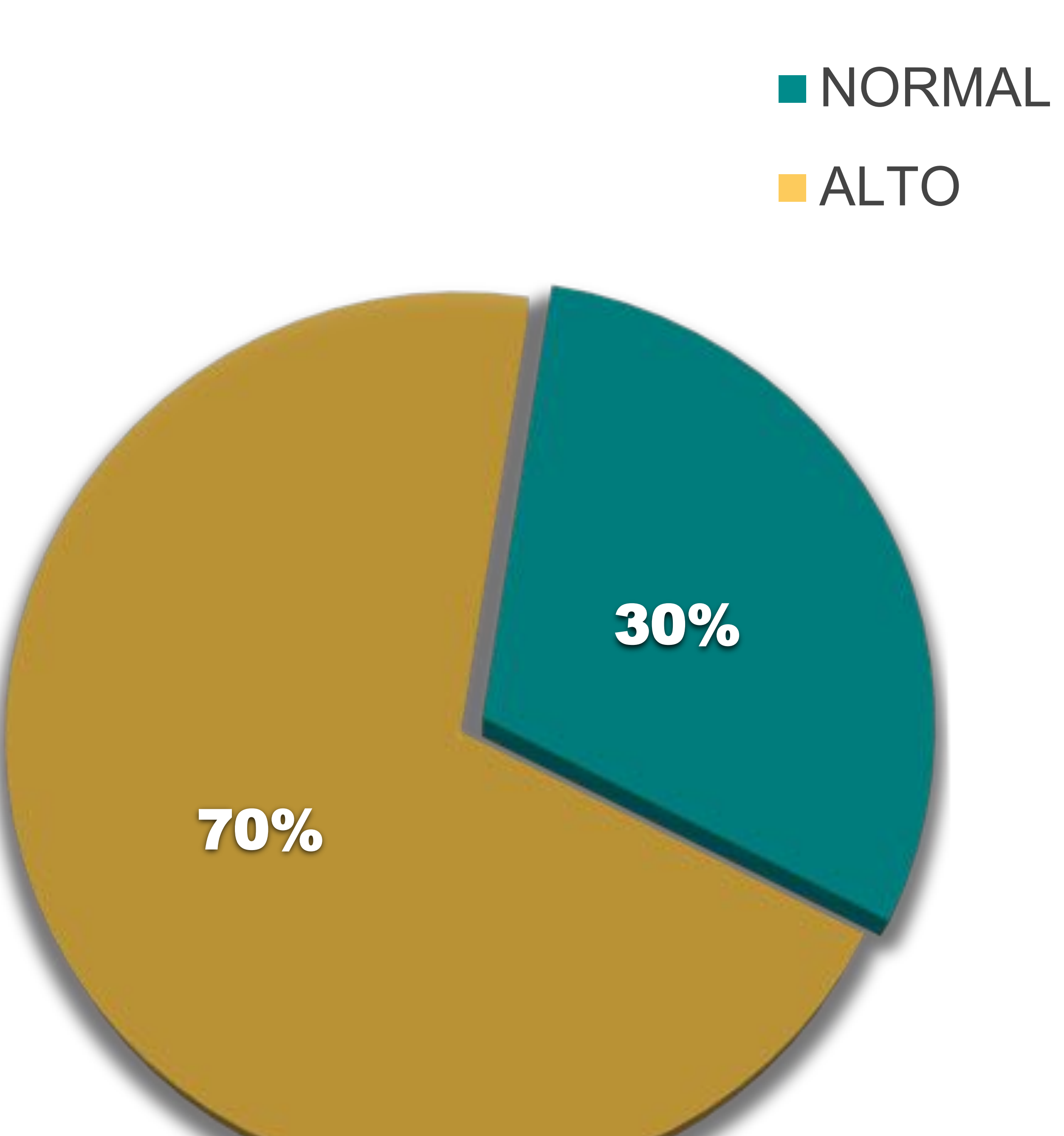
COLESTEROL



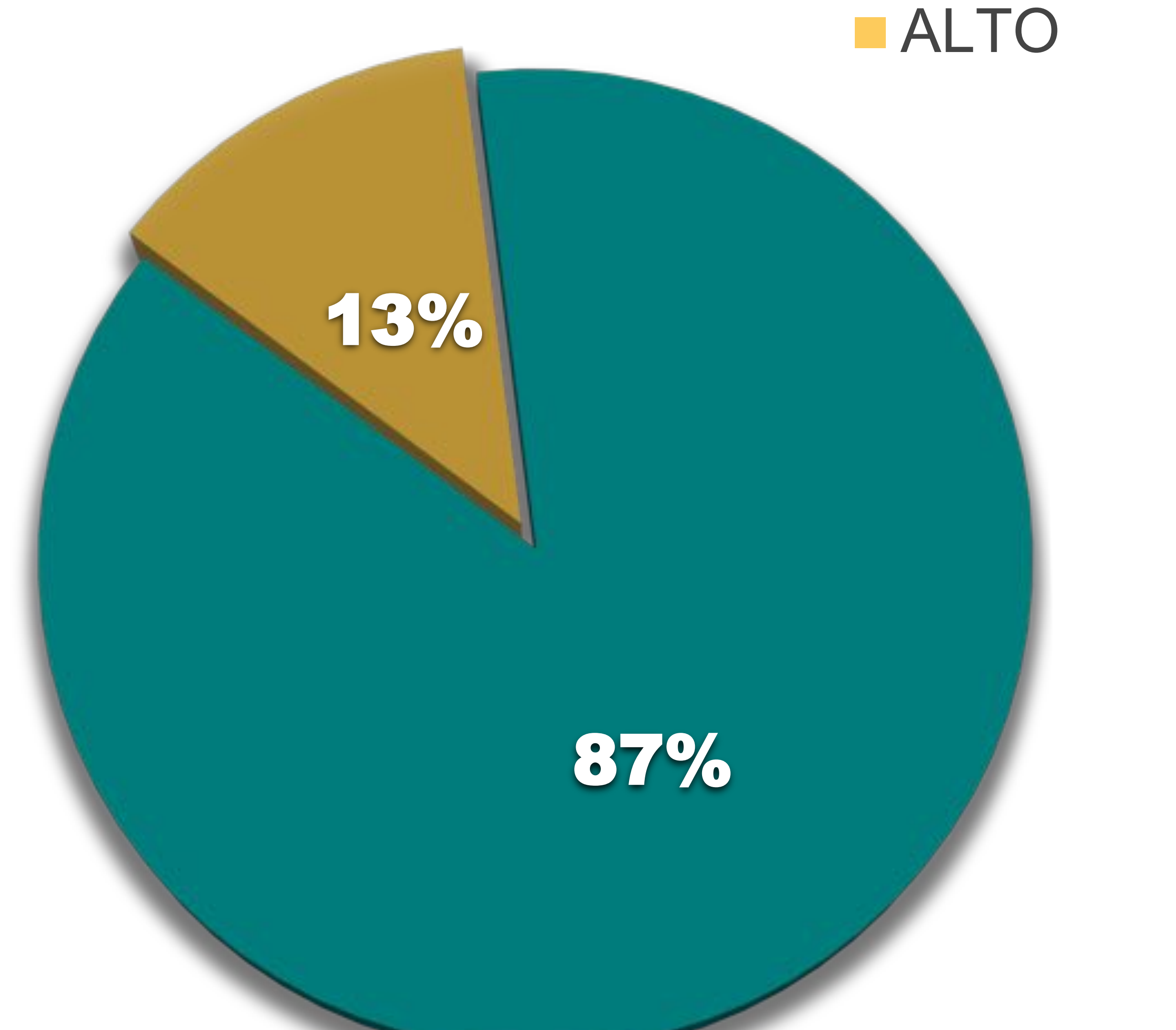
TRIGLICÉRIDOS



LDL-COL



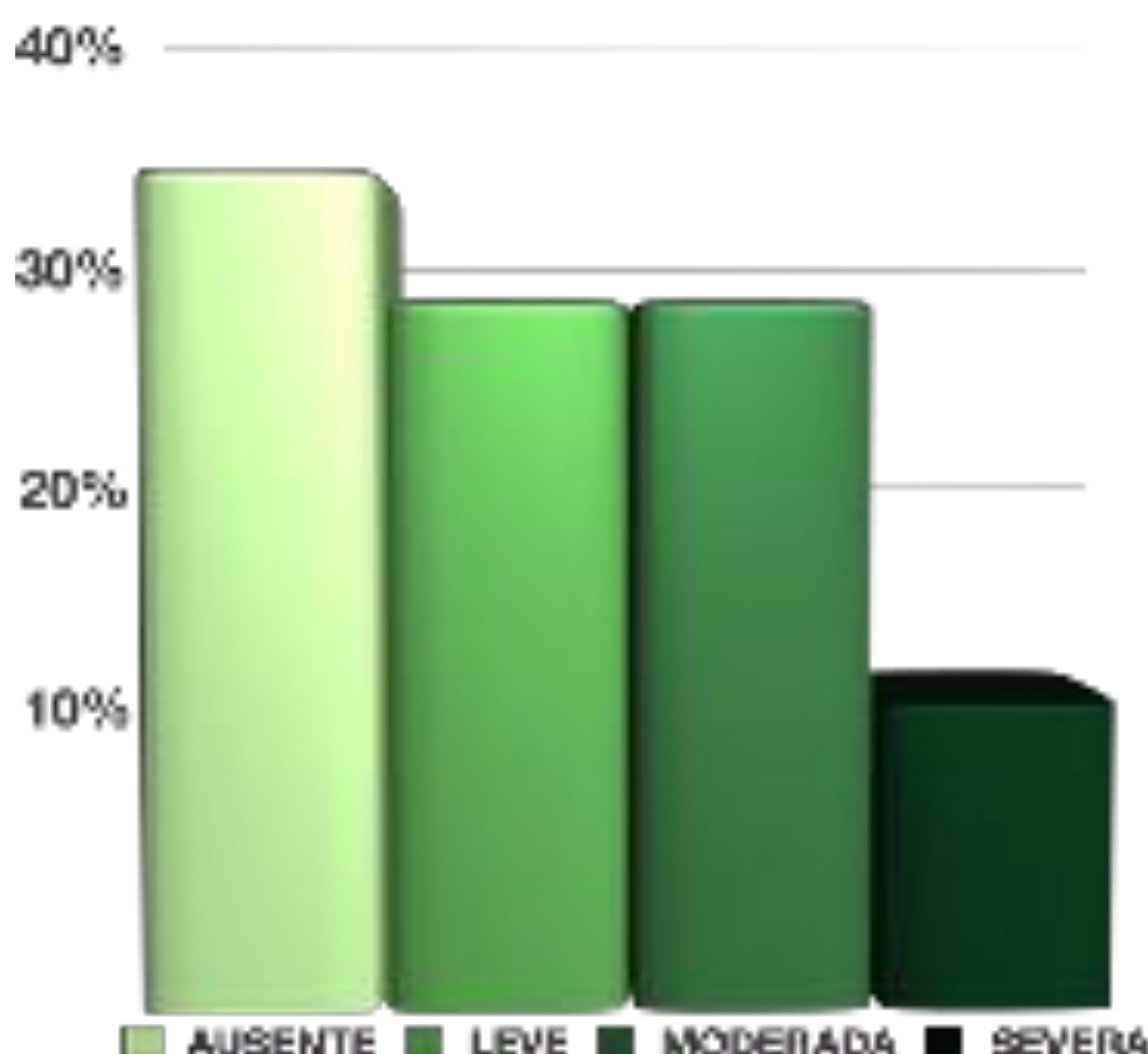
TRANSAMINASAS



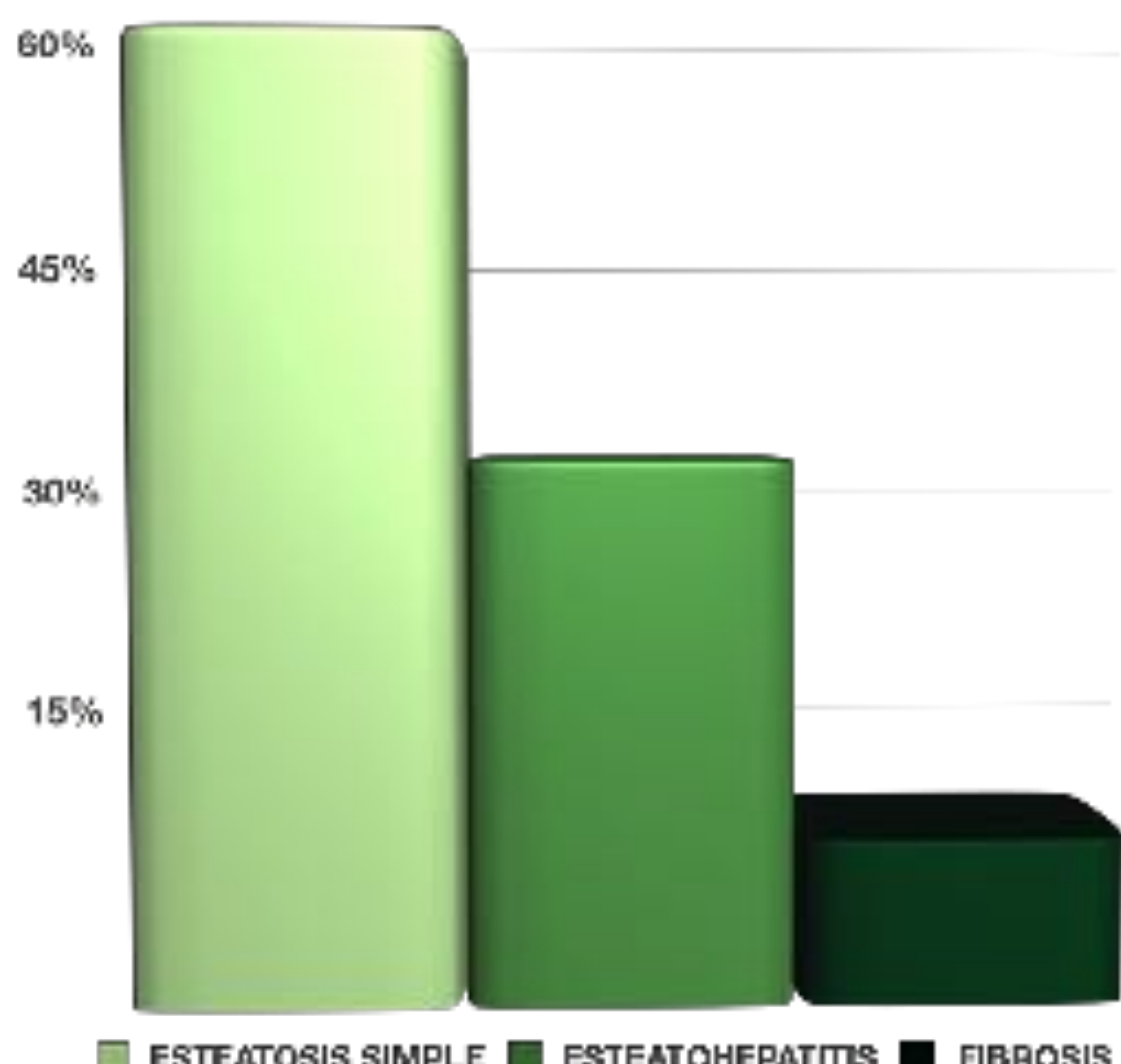
## 3. RESULTADOS

### 3.1. ANÁLISIS DESCRIPTIVO

#### ❖ Esteatosis hepática en ecografía



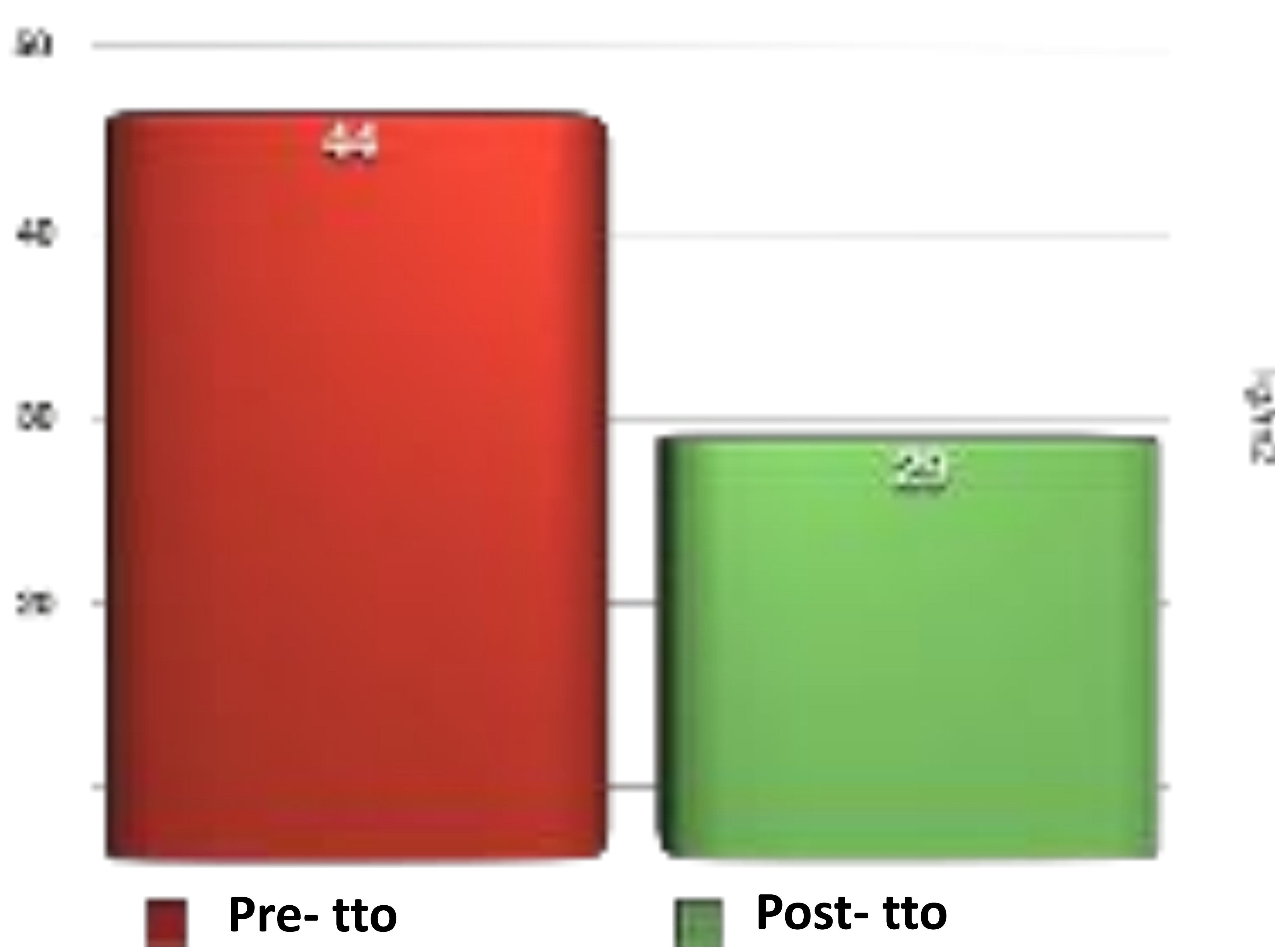
#### ❖ Diagnóstico histológico



## 3. RESULTADOS

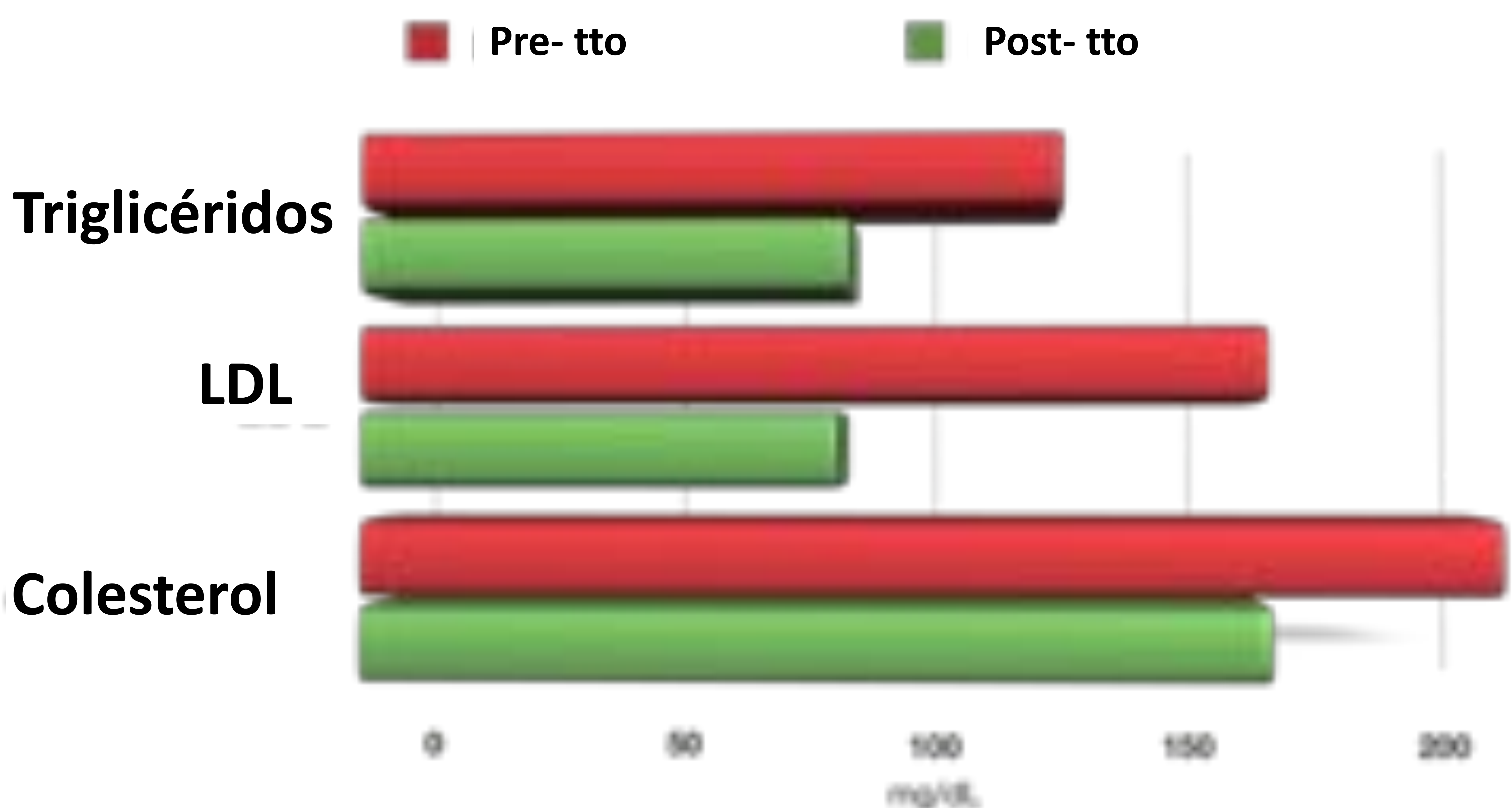
### 3.1. ANÁLISIS COMPARATIVO

#### ❖ IMC



p < 0.0001

#### ❖ Valores analíticos

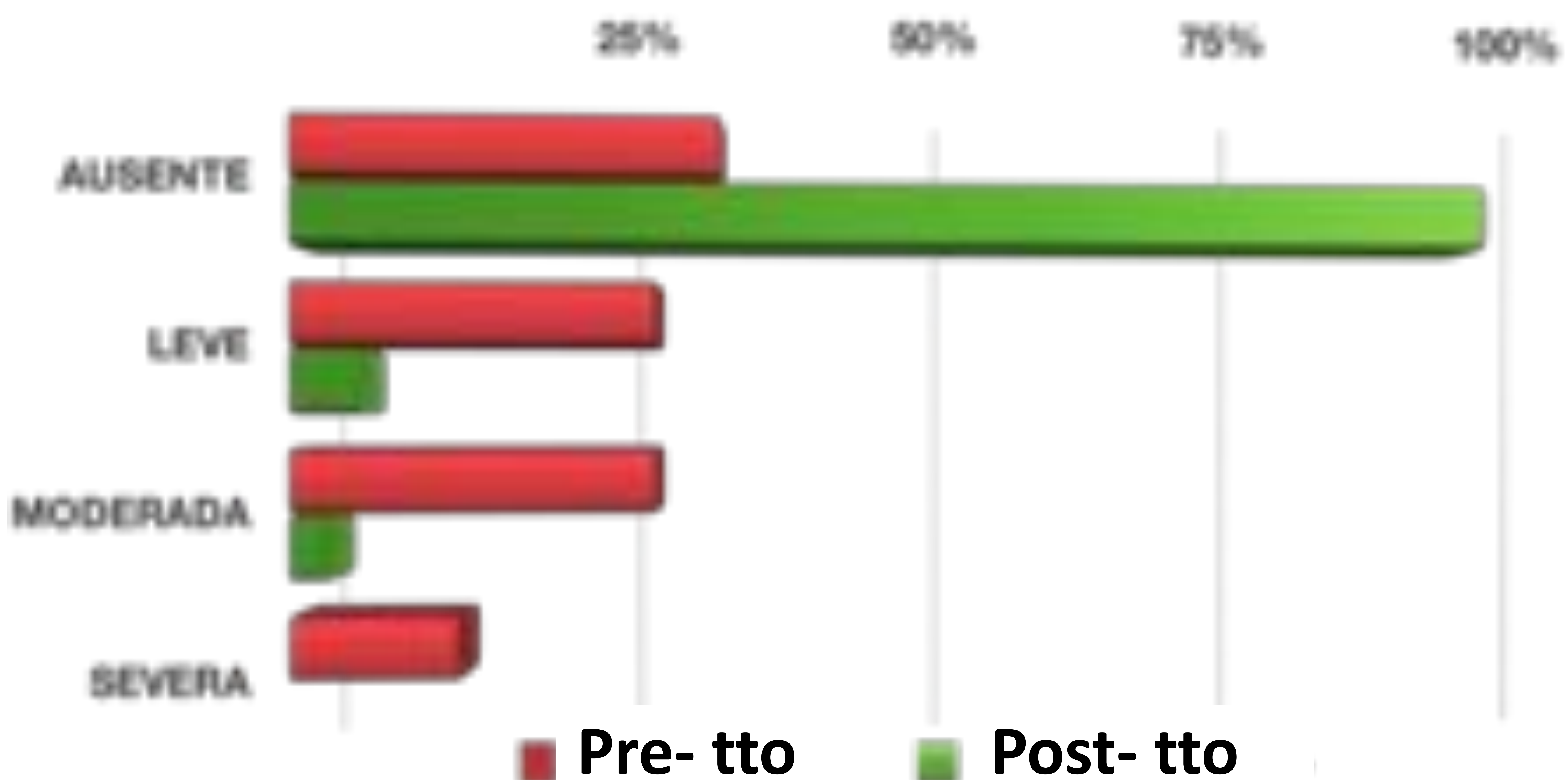


p < 0.0001

## 3. RESULTADOS

### 3.1. ANÁLISIS COMPARATIVO

#### ❖ Esteatosis en ecografía



#### ❖ Elastografía : Vc



## 3. RESULTADOS

### 3.1. ANÁLISIS COMPARATIVO

- Disminución significativa de la velocidad hepática cuantificada con ARFI
- Mejoría del grado de esteatosis hepática medido con ecografía en modo-B
- Mejoría significativa de los siguientes parámetros analíticos: -Colesterol total, TG, LDL-

## **4. CONCLUSIONES**

- ❖ Se ha verificado una reversibilidad de la EGHNA después de la cirugía bariátrica, con mejoría de parámetros analíticos y estructurales del parénquima hepático.
- ❖ Conocer la evolución del daño hepático asociado a la EGHNA es clave en el manejo clínico-terapéutico de estos pacientes y se puede monitorizar mediante elastografía ARFI.

## BIBLIOGRAFÍA

- Guzmán-Aroca F, Frutos-Bernal MD, Bas A, et al. Detection of non-alcoholic steatohepatitis in patients with morbid obesity before bariatric surgery: Preliminary evaluation with acoustic radiation force impulse imaging. *Eur Radiol.* 2012;22(11):2525–32.
- Buchwald H, Avidor Y, Braunwald E et al. Bariatric surgery: a systematic review and meta-analysis. *JAMA.* 2004; 292(11):1724–37.
- Barr RG, Ferraioli G, Palmeri ML, et al. Elastography Assessment of Liver Fibrosis: Society of Radiologists in Ultrasound Consensus Conference Statement. *Radiology.* 2015;0(0):150619.
- Sobotta. Atlas de anatomía humana. Vol 2. 22<sup>th</sup> ed. Madrid: Elsevier GmbH; 2006.
- Aguilar-Olivos NE, Almeda-Valdes P, Aguilar-Salinas CA, Uribe M, Méndez-Sánchez N. The role of bariatric surgery in the management of nonalcoholic fatty liver disease and metabolic syndrome. *Metabolism.* Elsevier Inc. 2015; 65(8):1196-207.
- Palmeri ML, Wang MH, Rouze NC, et al. Noninvasive evaluation of hepatic fibrosis using acoustic radiation force-based shear stiffness in patients with nonalcoholic fatty liver disease. *J Hepatol.* European Association for the Study of the Liver; 2011;55(3):666–72.